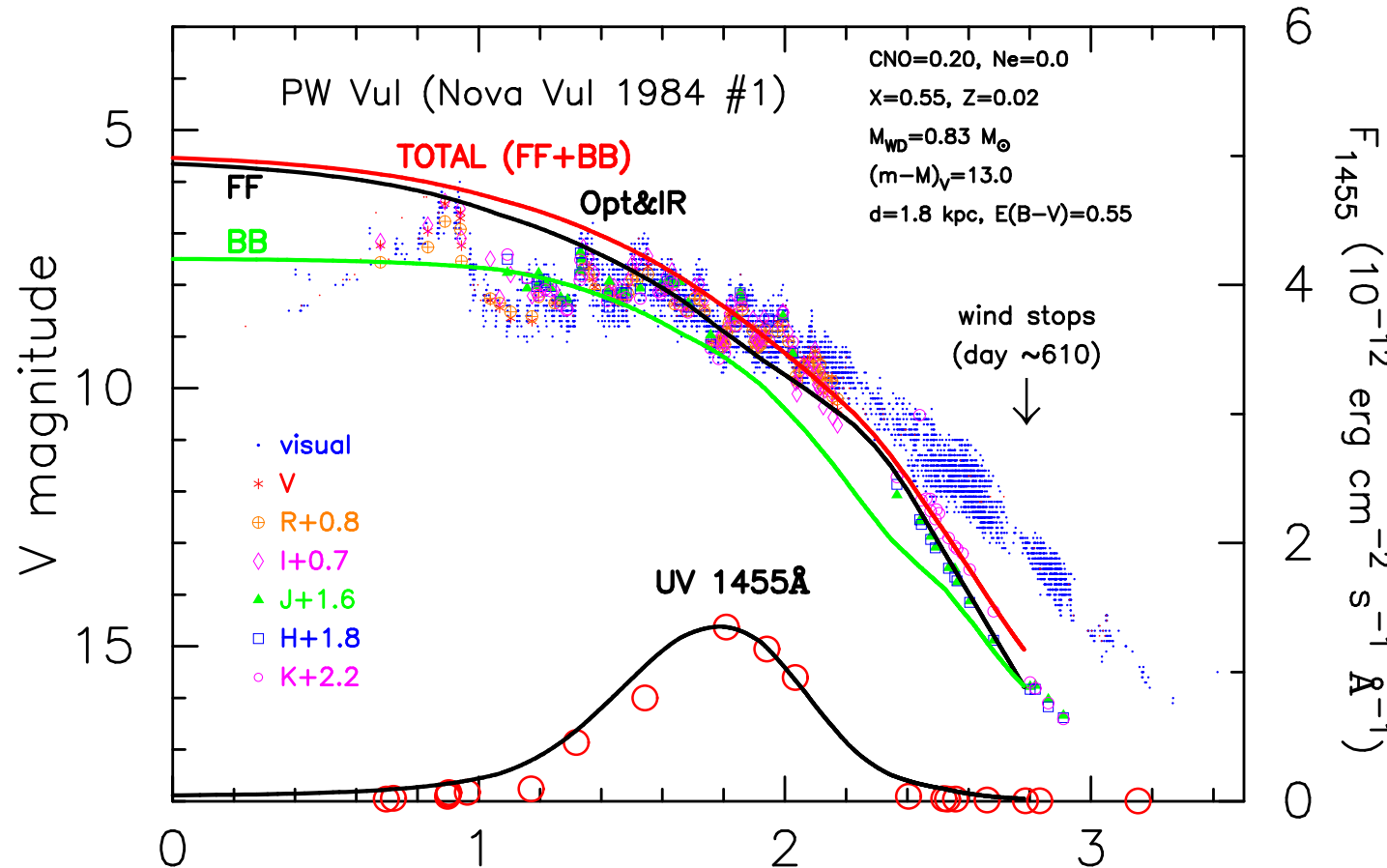


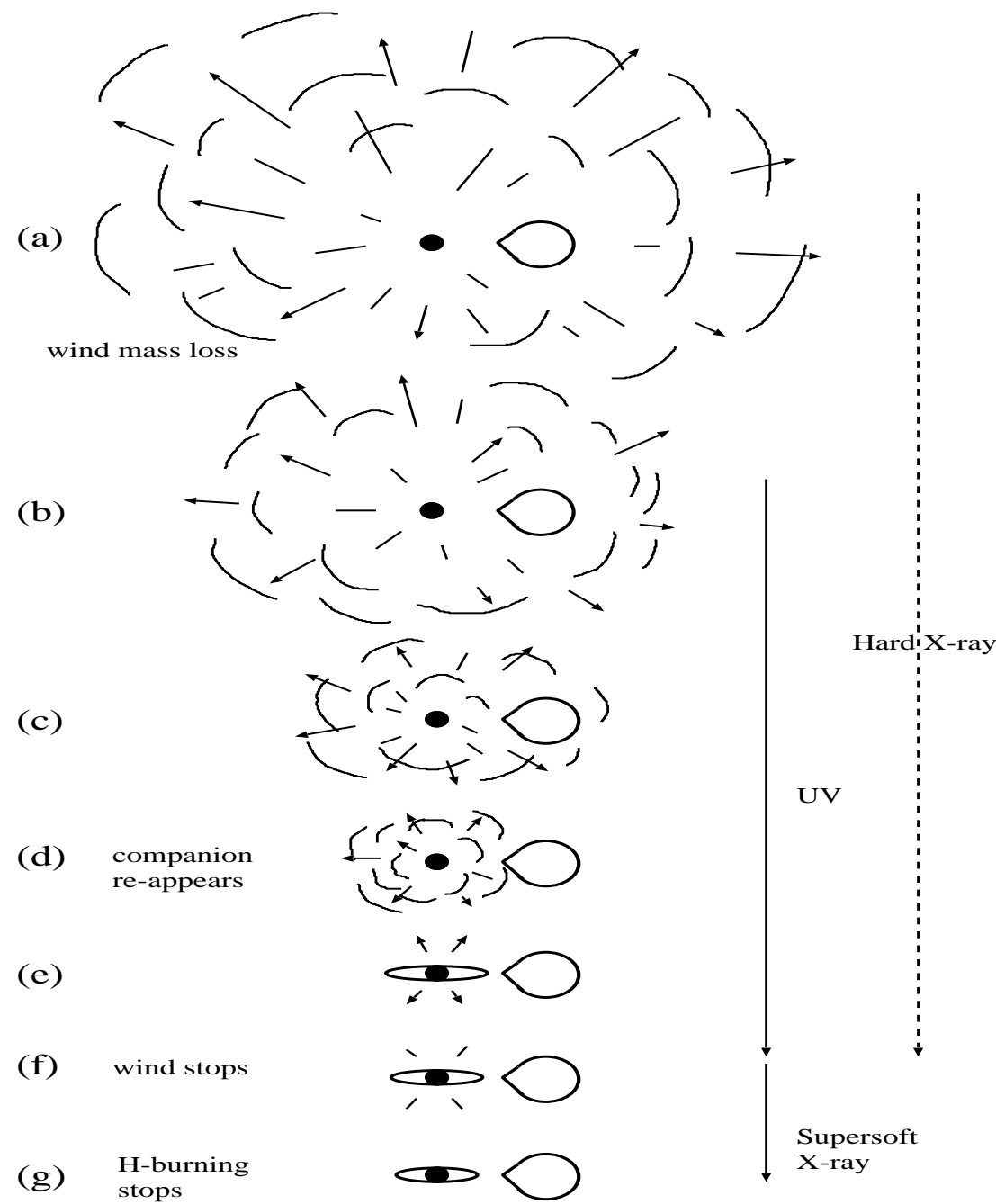
遅い古典新星の光度曲線

蜂巣 泉 (東京大学総合文化研究科)

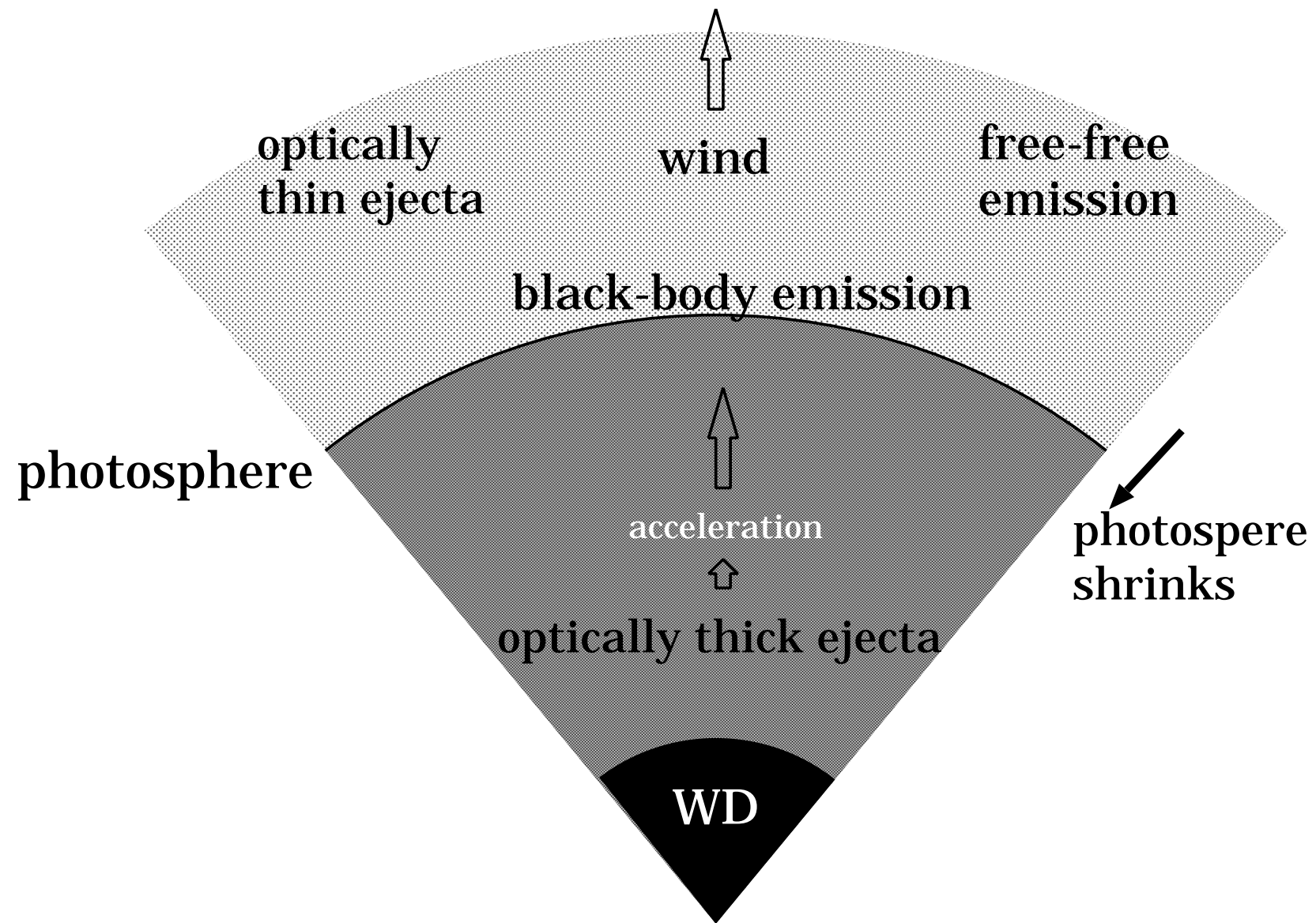
共著者: 加藤 万里子 (慶應大学)



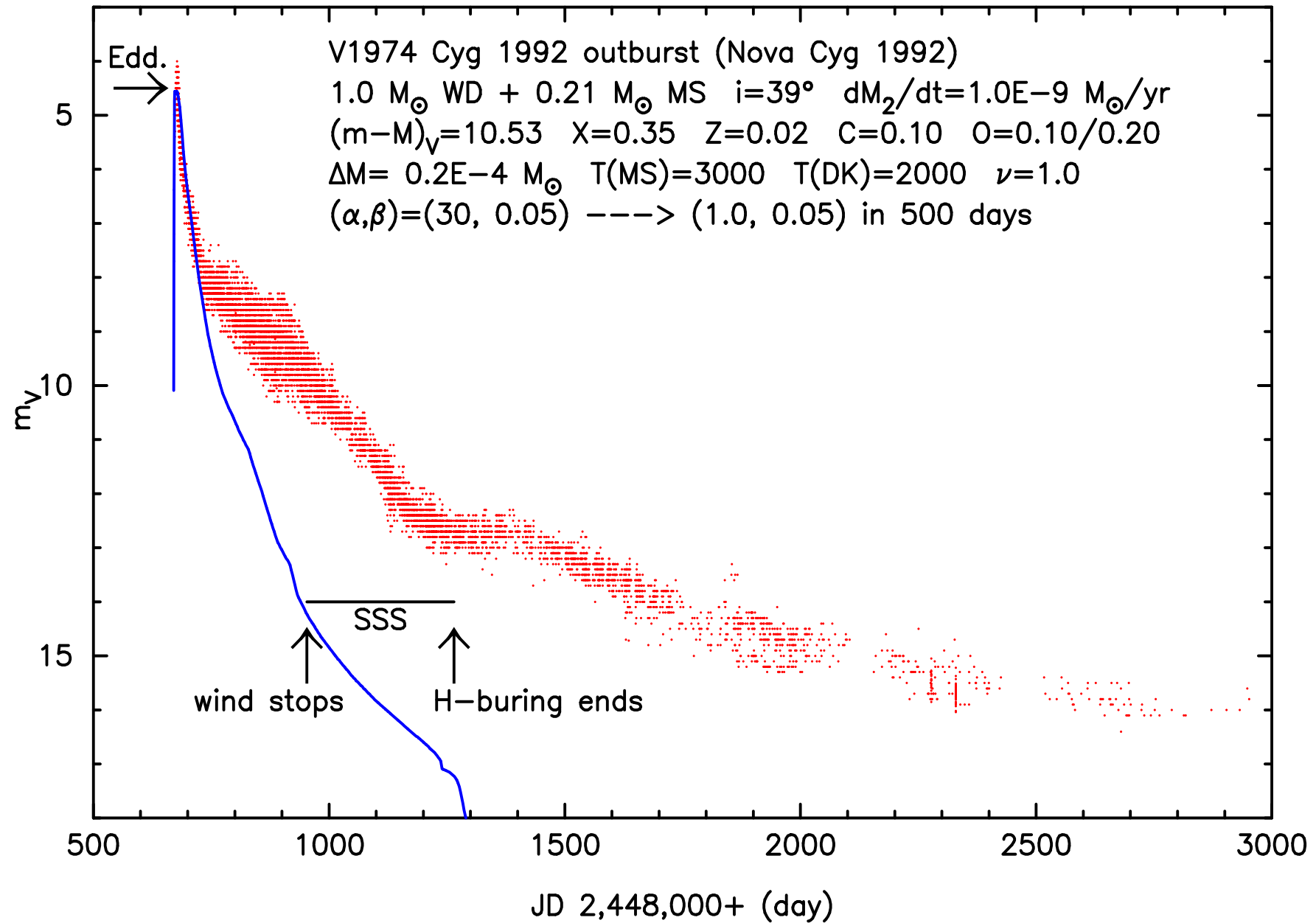
Evolution of Classical Novae



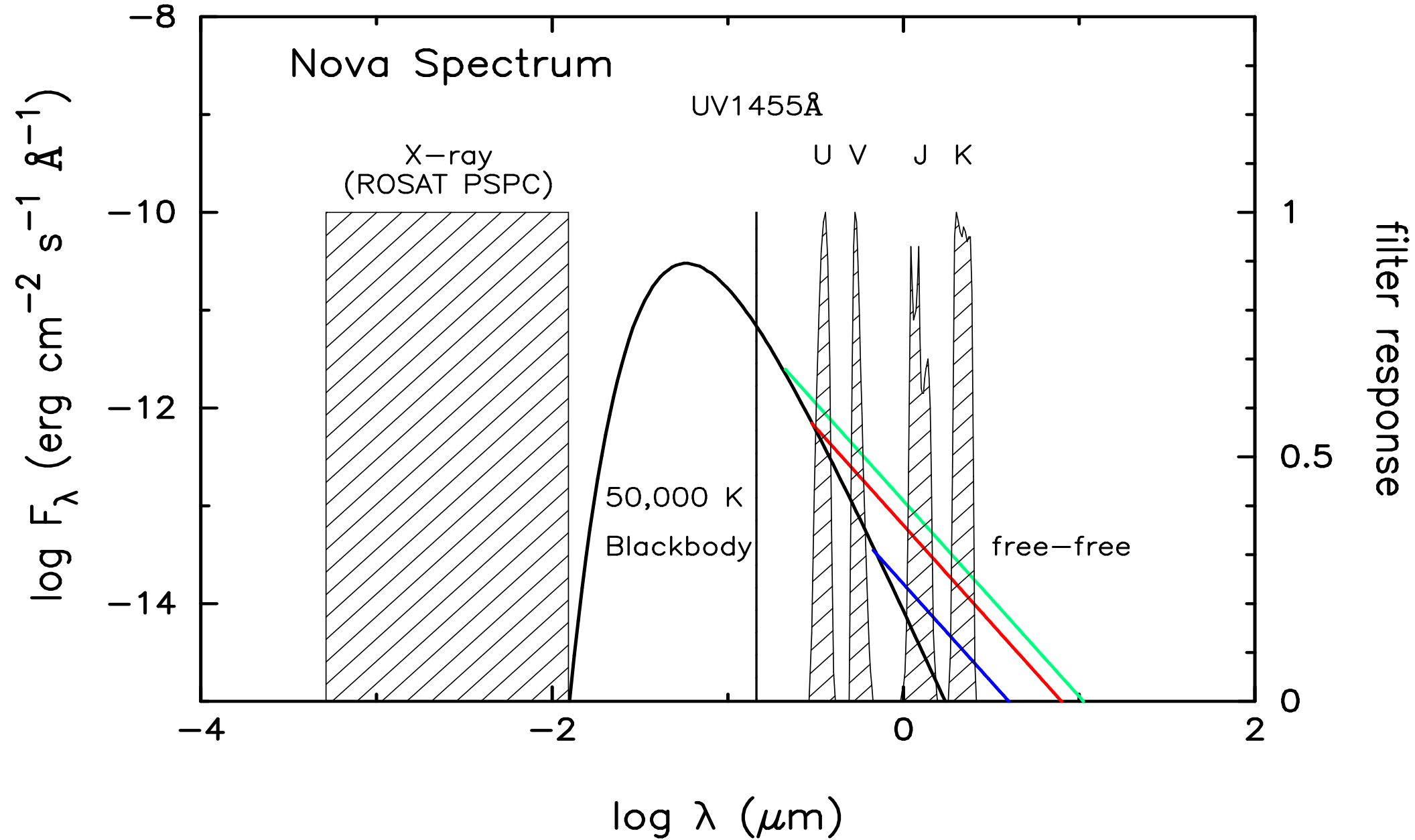
free-free emission outside photosphere



Optical: not only by a Blackbody

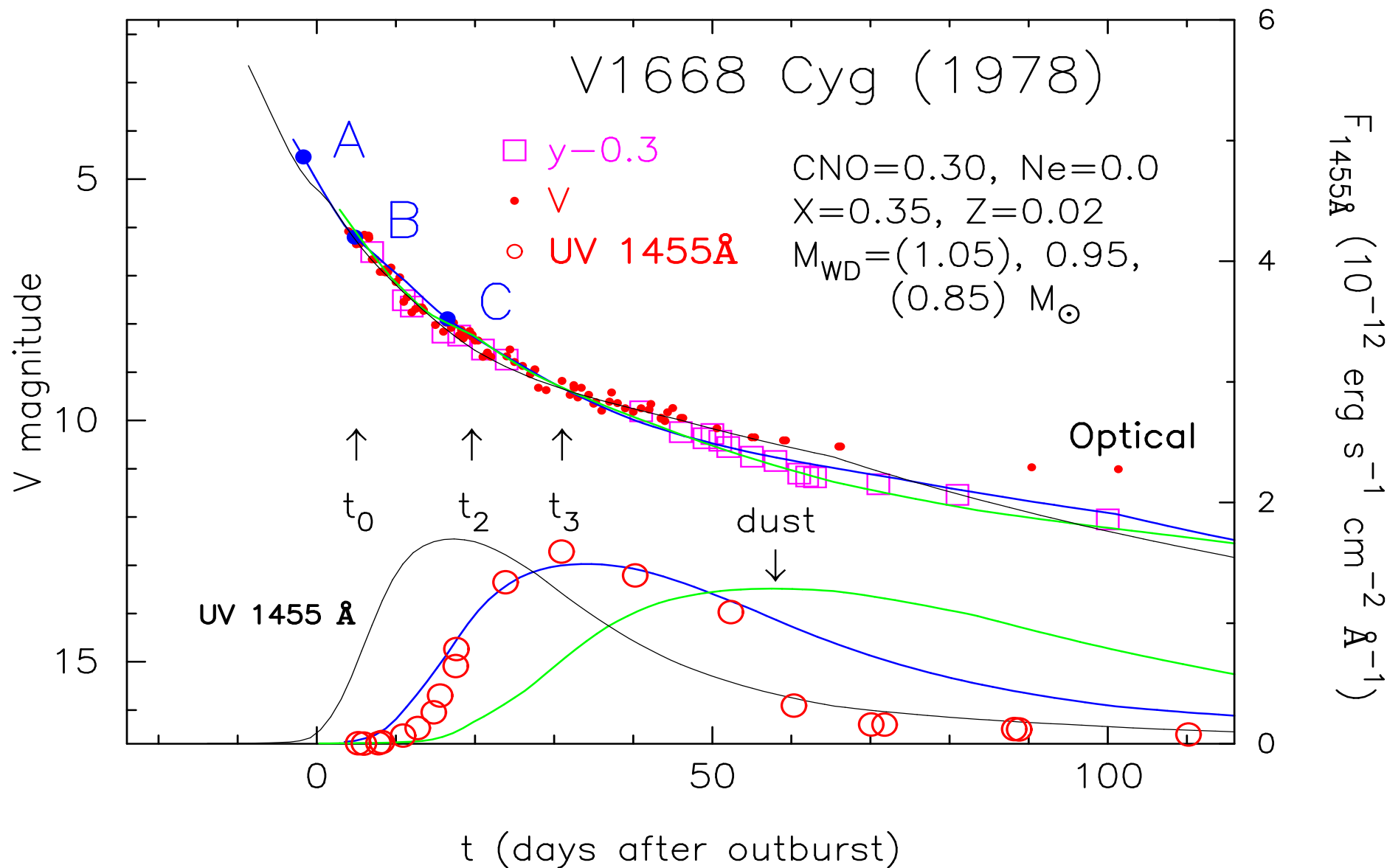


free-free emission at optical



光度曲線フィッティング

可視光はfree-free、 紫外(1455Å)は黒体輻射



古典新星の光度曲線のまとめ

速い古典新星の場合

可視光領域より長い波長では free-free

UV 1455 などの紫外は黒体輻射

新星の光度曲線を多波長に渡って再現できる

遅い古典新星の場合

free-free emission の寄与が小さい

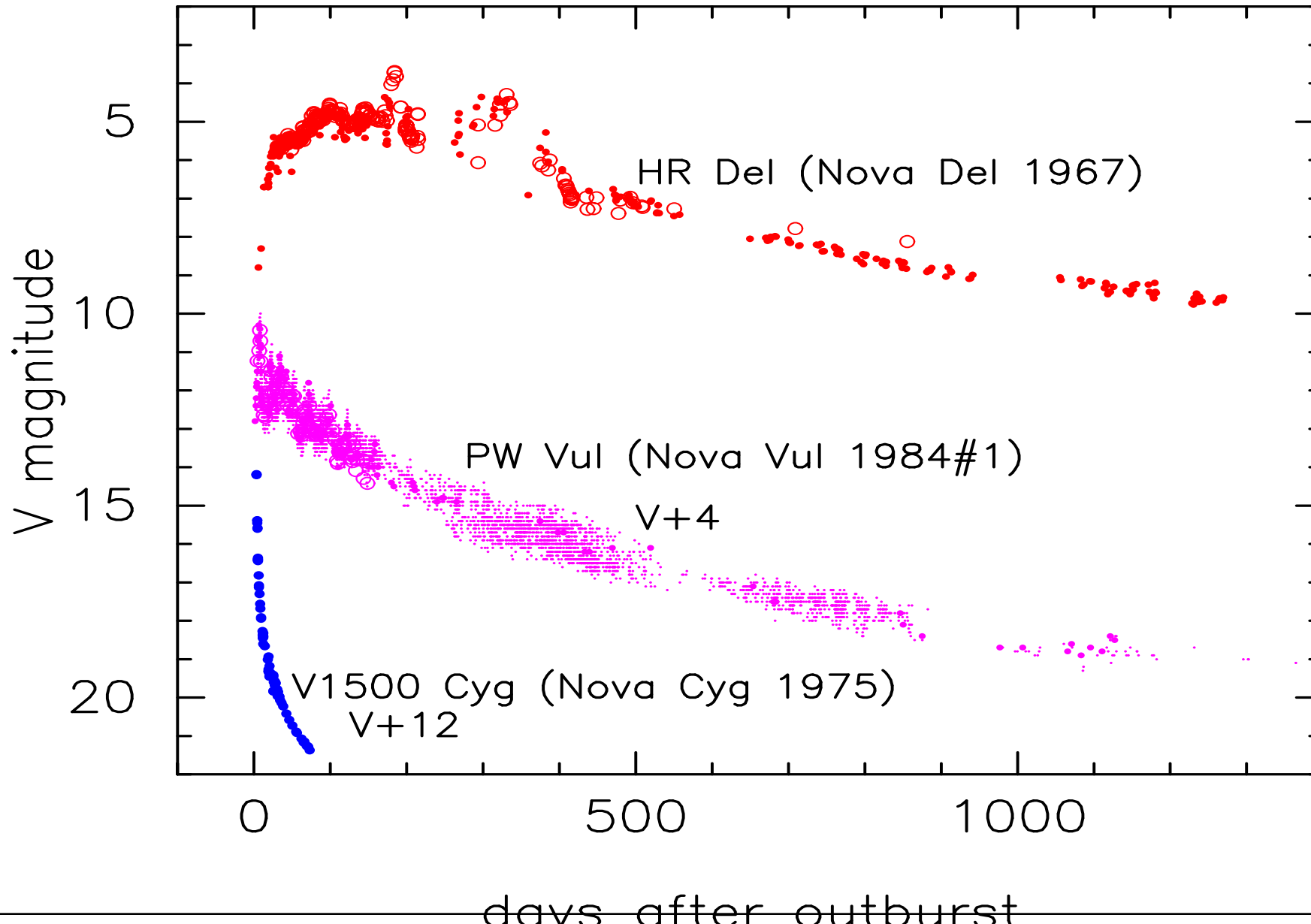
光球からの輻射が主に寄与する

その結果、速い新星のいろいろな経験則からずれる

PW Vul, HR Del, V723 Cas, PU Vul の場合

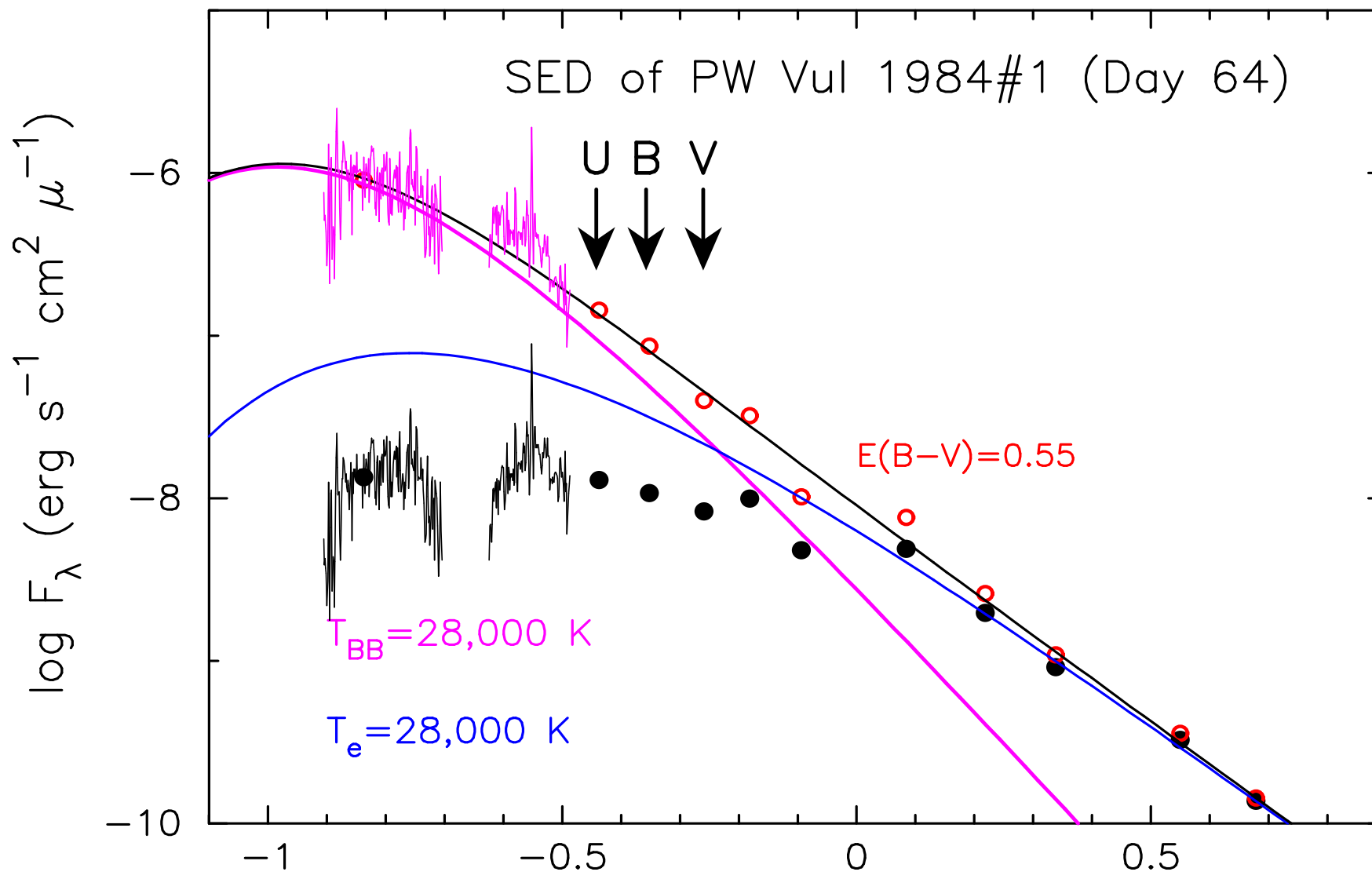
HR Del, PW Vul, and V1500 Cyg

減光のタイムスケールが違う



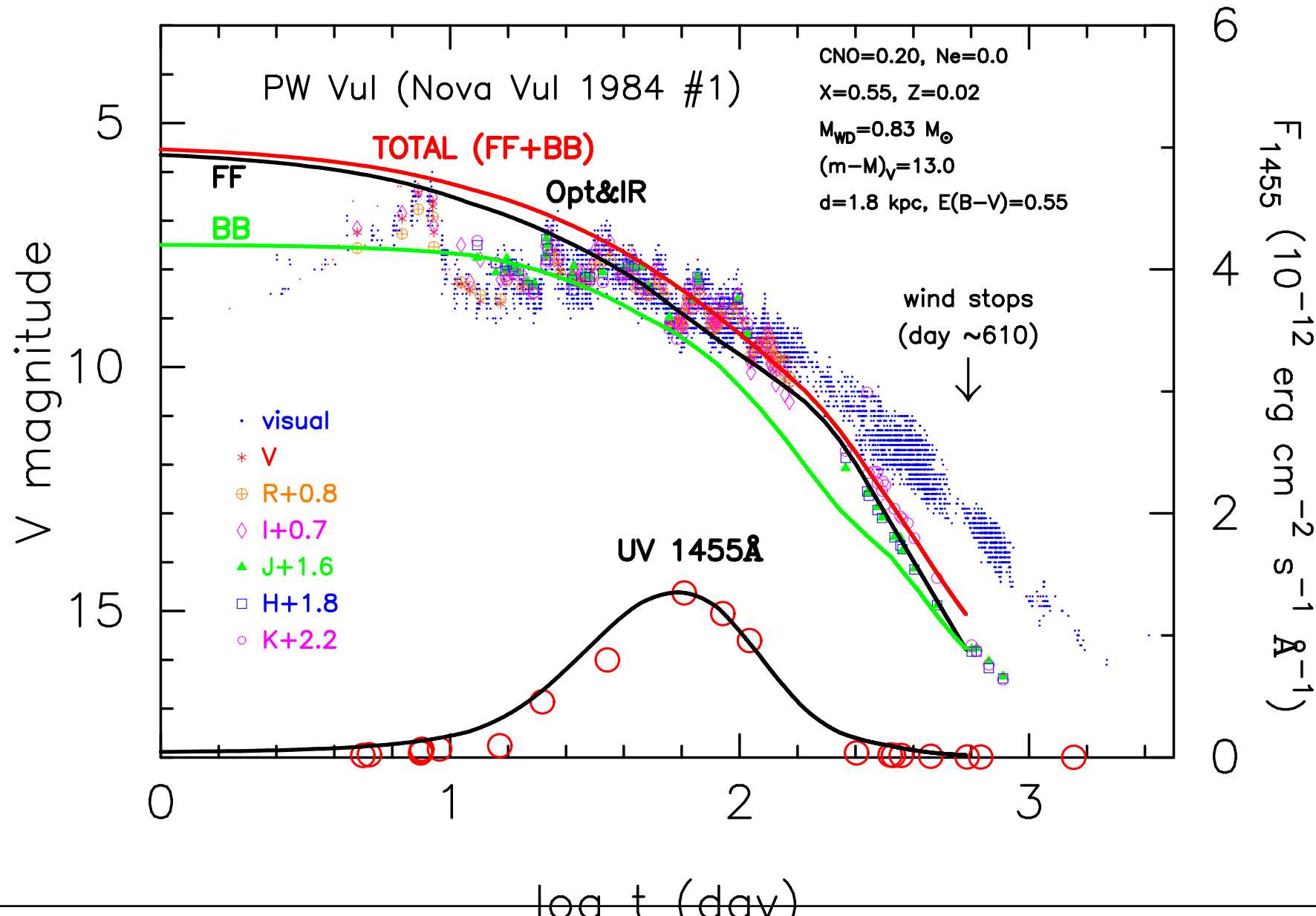
PW Vul 1984#1 のスペクトル

free-free と光球の寄与が同じくらい



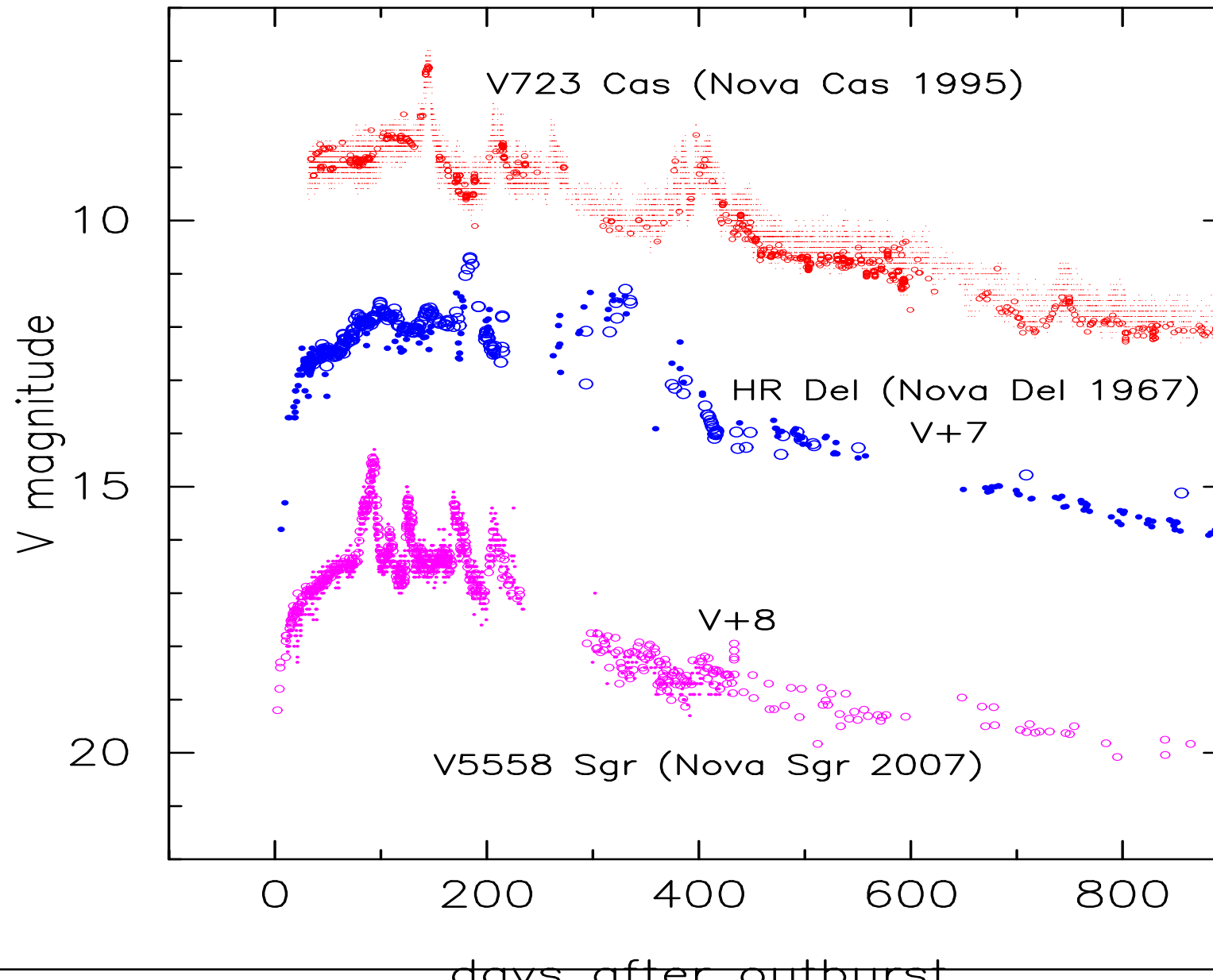
Light Curve of PW Vul 1984#1

free-free > photosphere ($M_{\text{wd}}=0.83 M_{\odot}$)



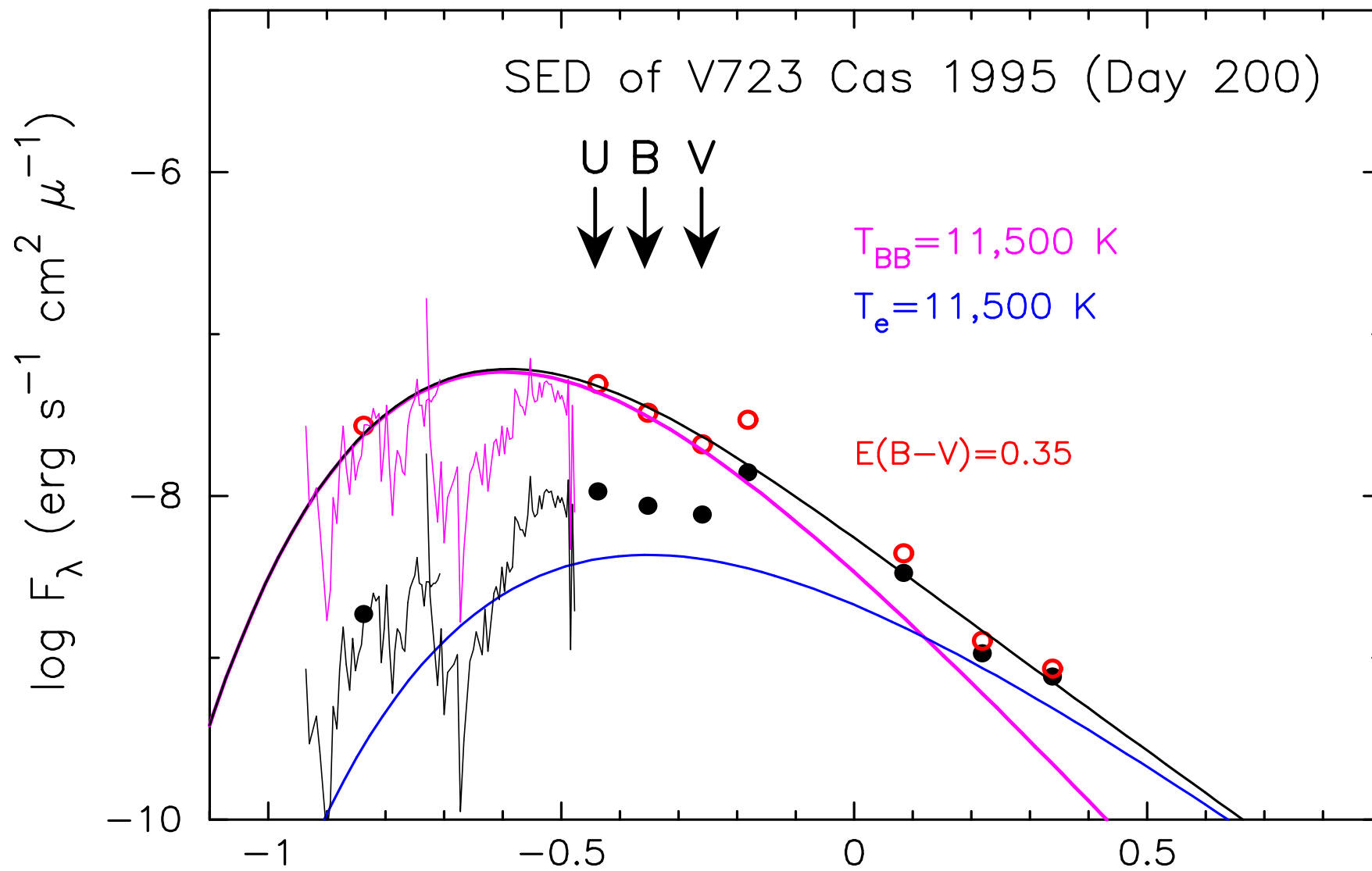
V723 Cas, HR Del, and V5558 Sgr

slow novae の中では最も遅いもの



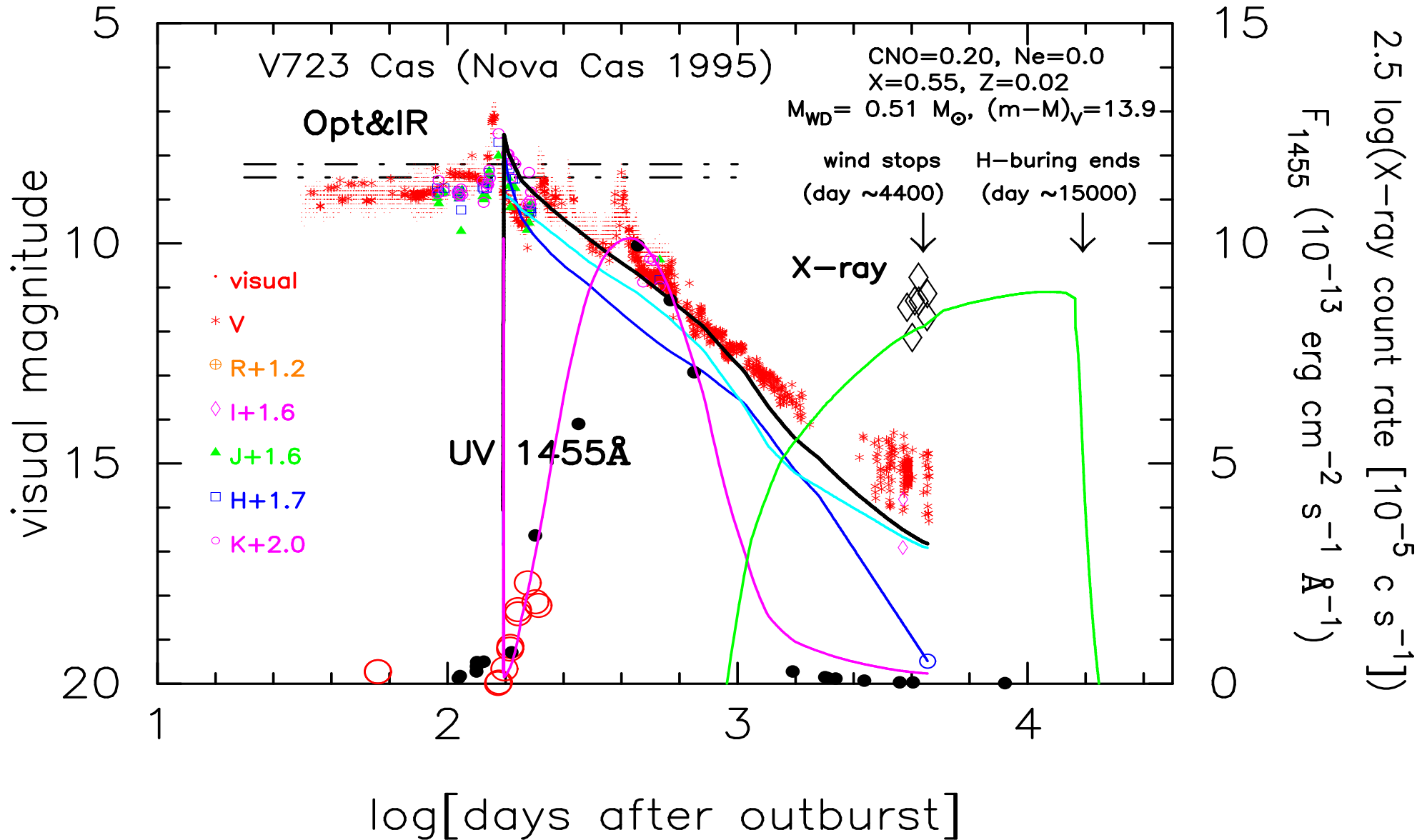
V723 Cas 1995 のスペクトル

free-free の寄与は、より小さい



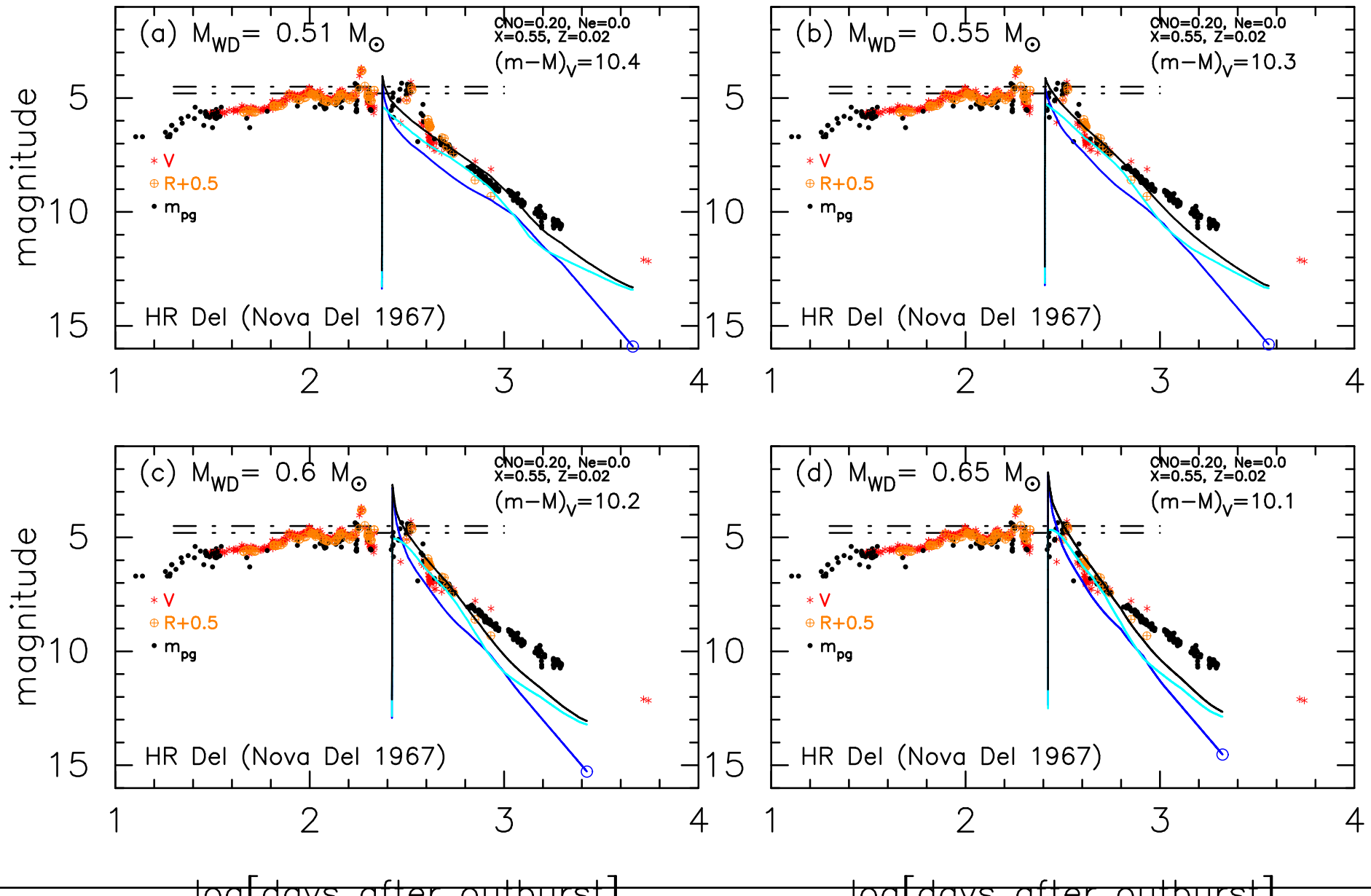
Light Curve of V723 Cas 1992

free-free < photosphere ($M_{\text{wd}}=0.51 M_{\odot}$)



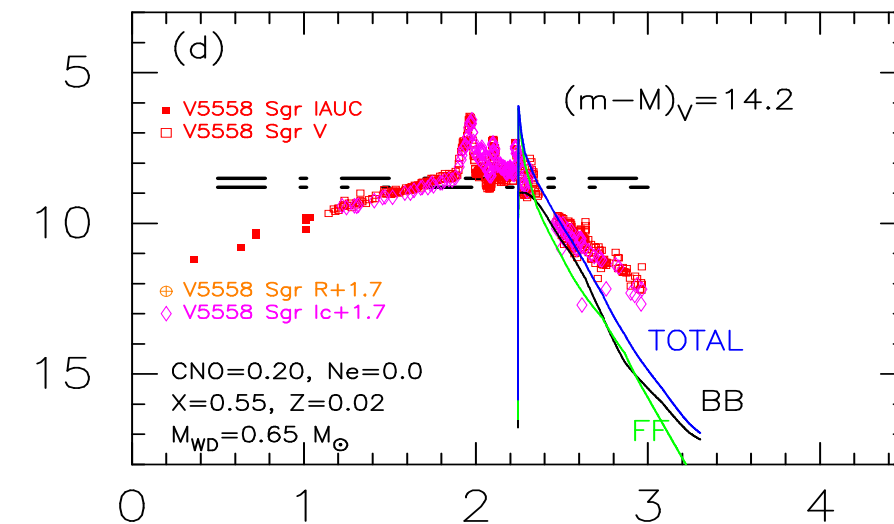
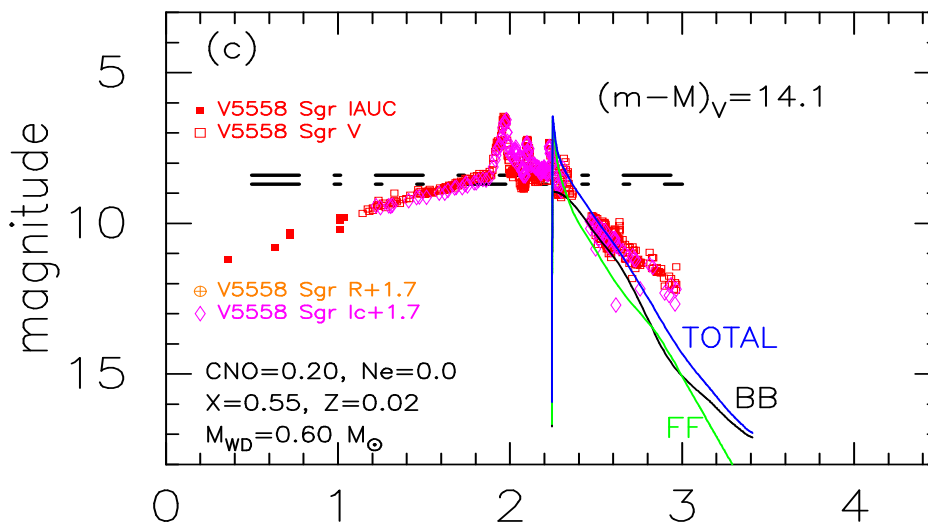
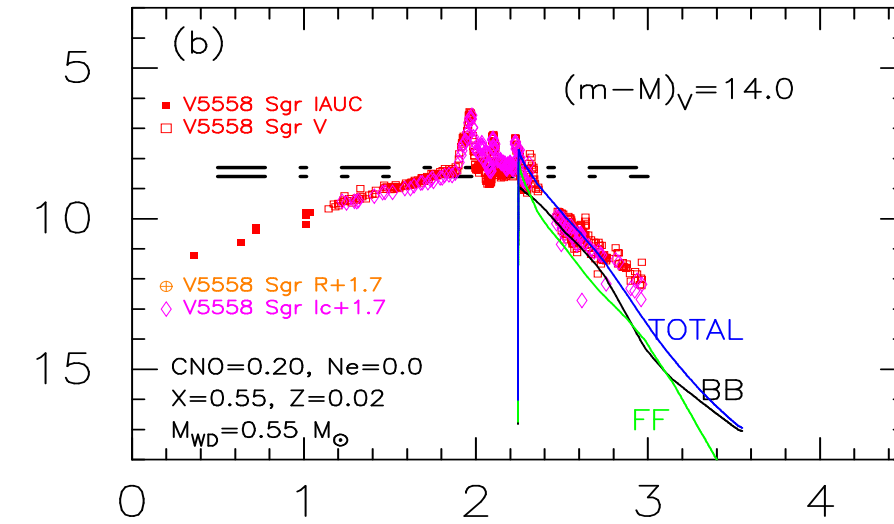
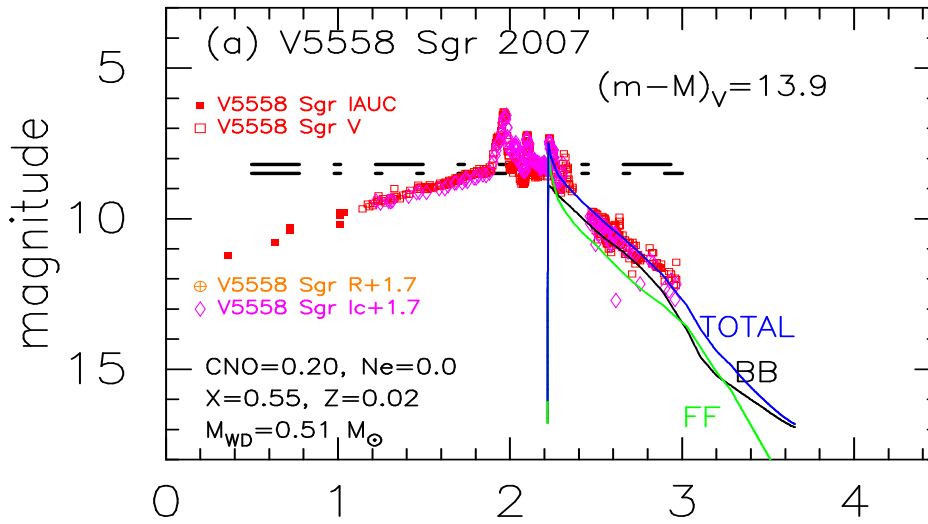
Light Curve of HR Del 1967

free-free < photosphere ($M_{\text{wd}}=0.51-0.55 M_{\odot}$)



Light Curve of V5558 Sgr 2007

free-free < photosphere ($M_{\text{wd}}=0.51-0.55 M_{\odot}$)

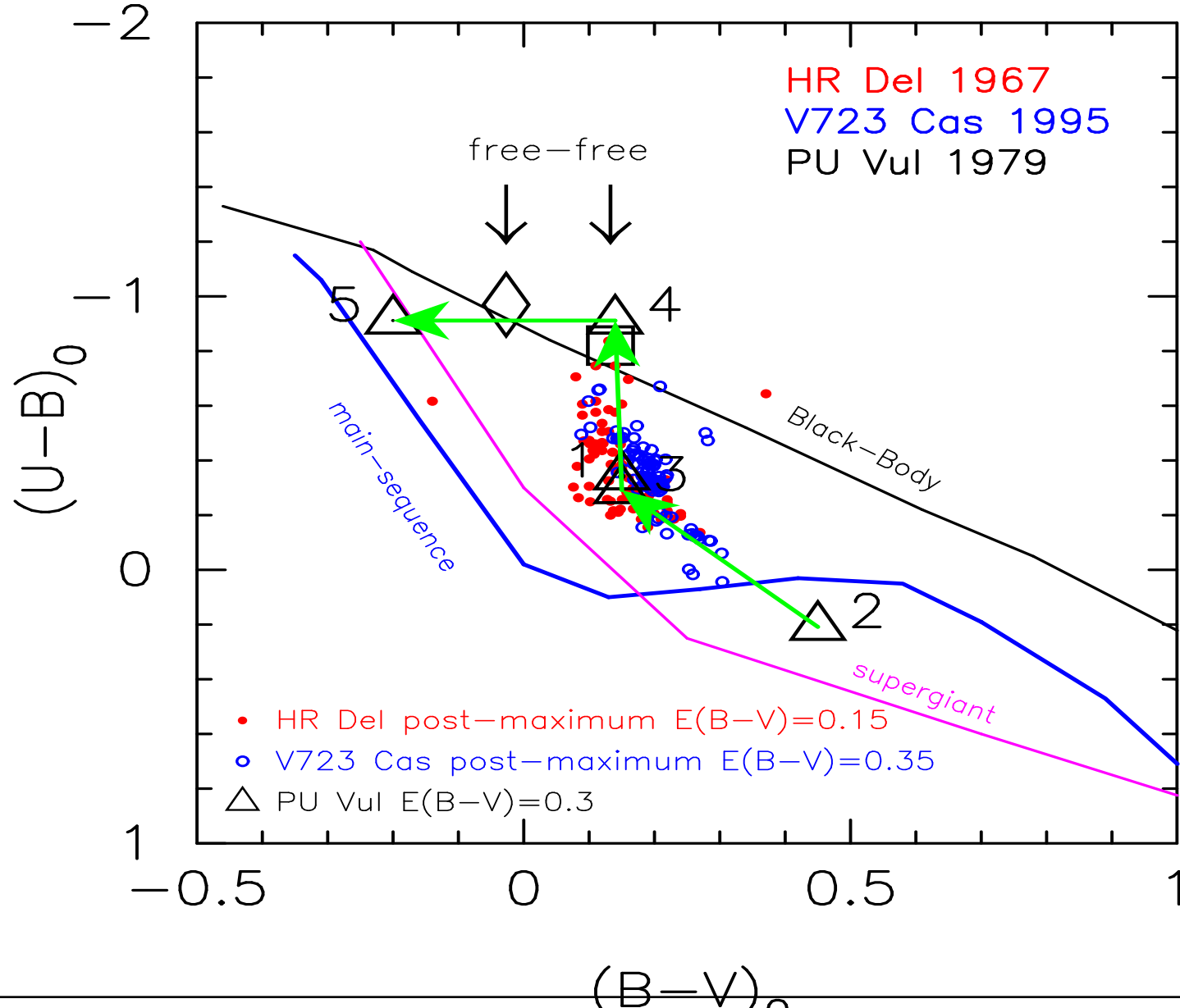


time [days after outburst]

time [days after outburst]

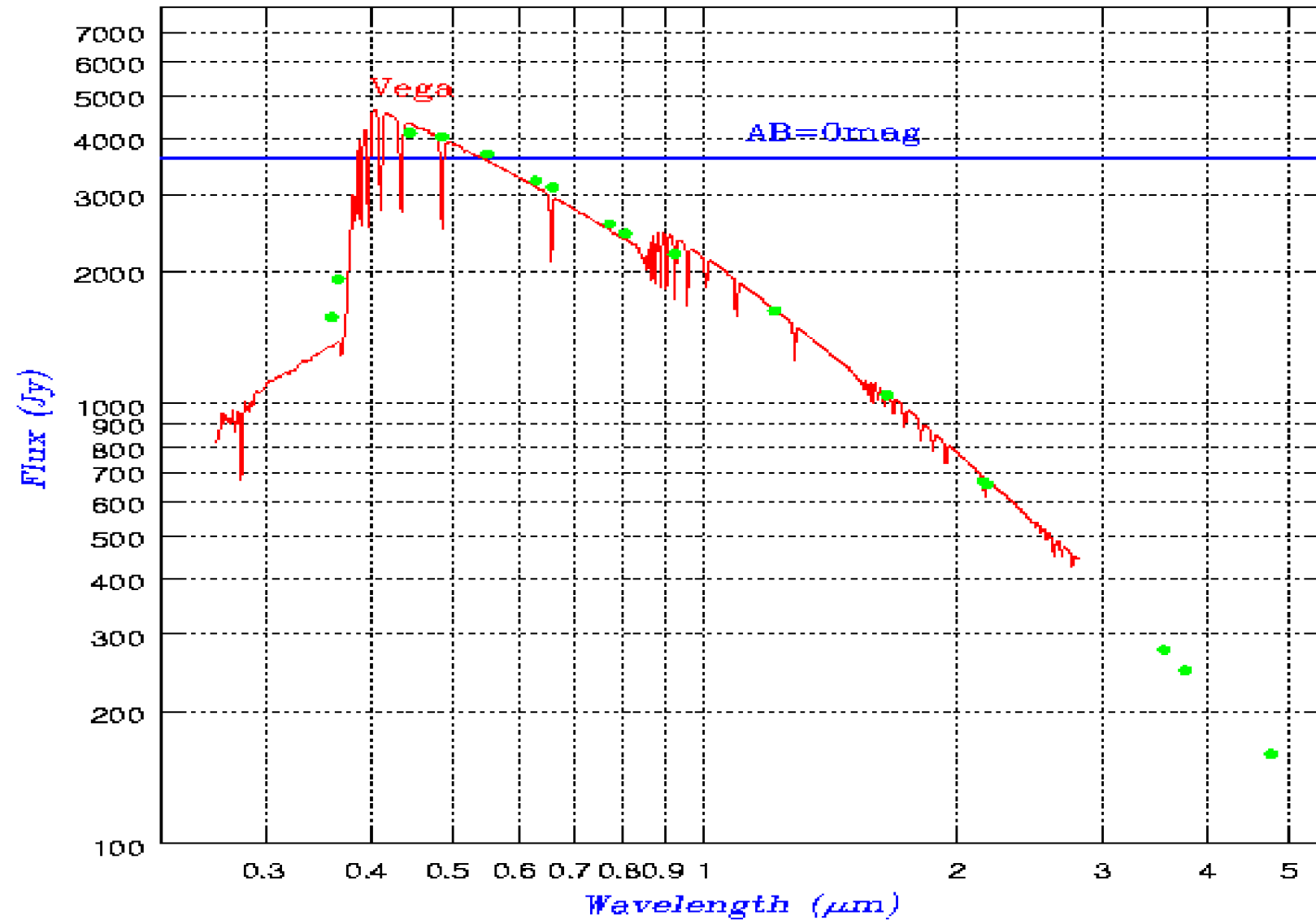
Novae in color-color diagram

古典新星の進化(軌跡)を理解する



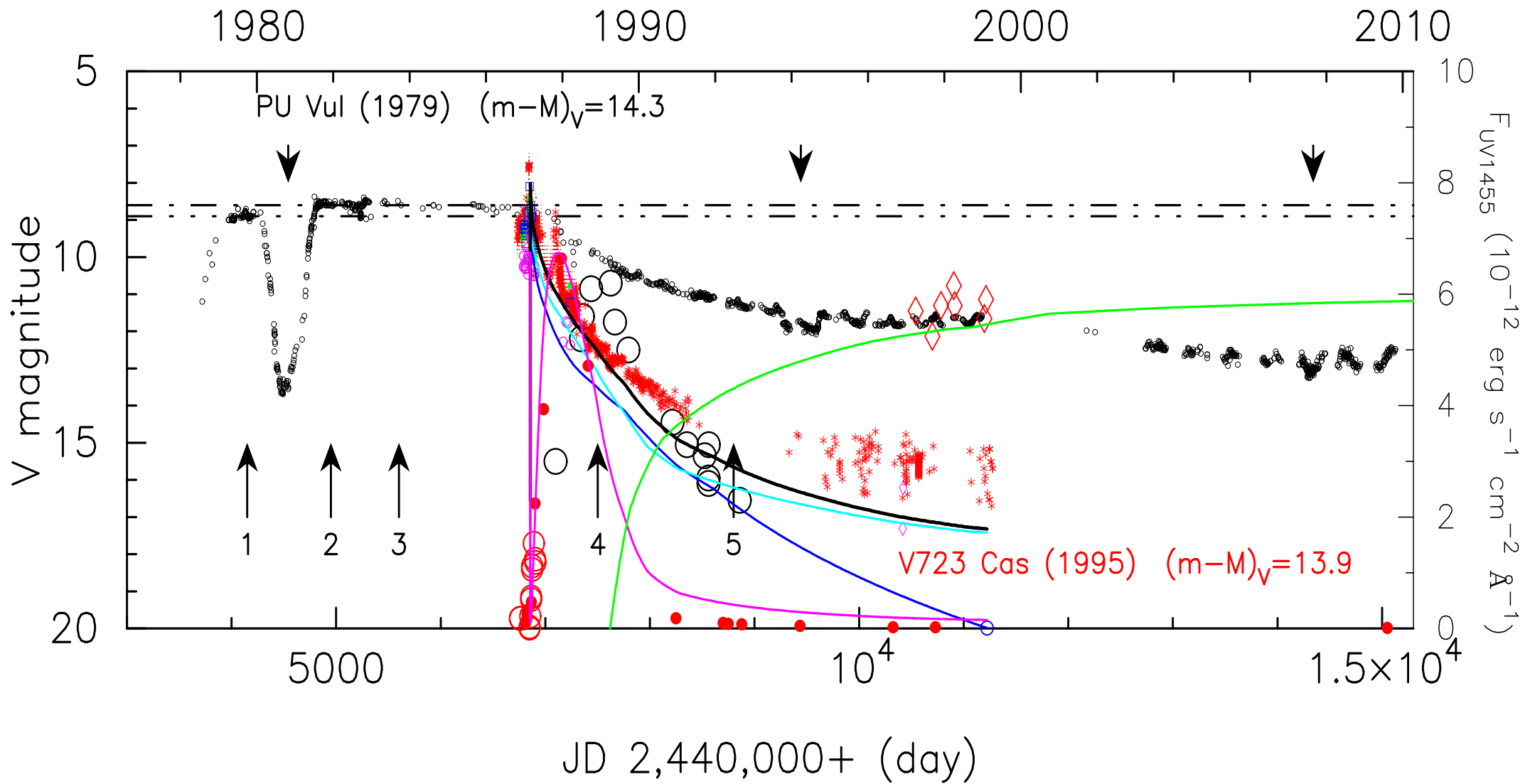
Filters and Spectrum of Vega

U-band で flux が下がる



PU Vul and V723 Cas

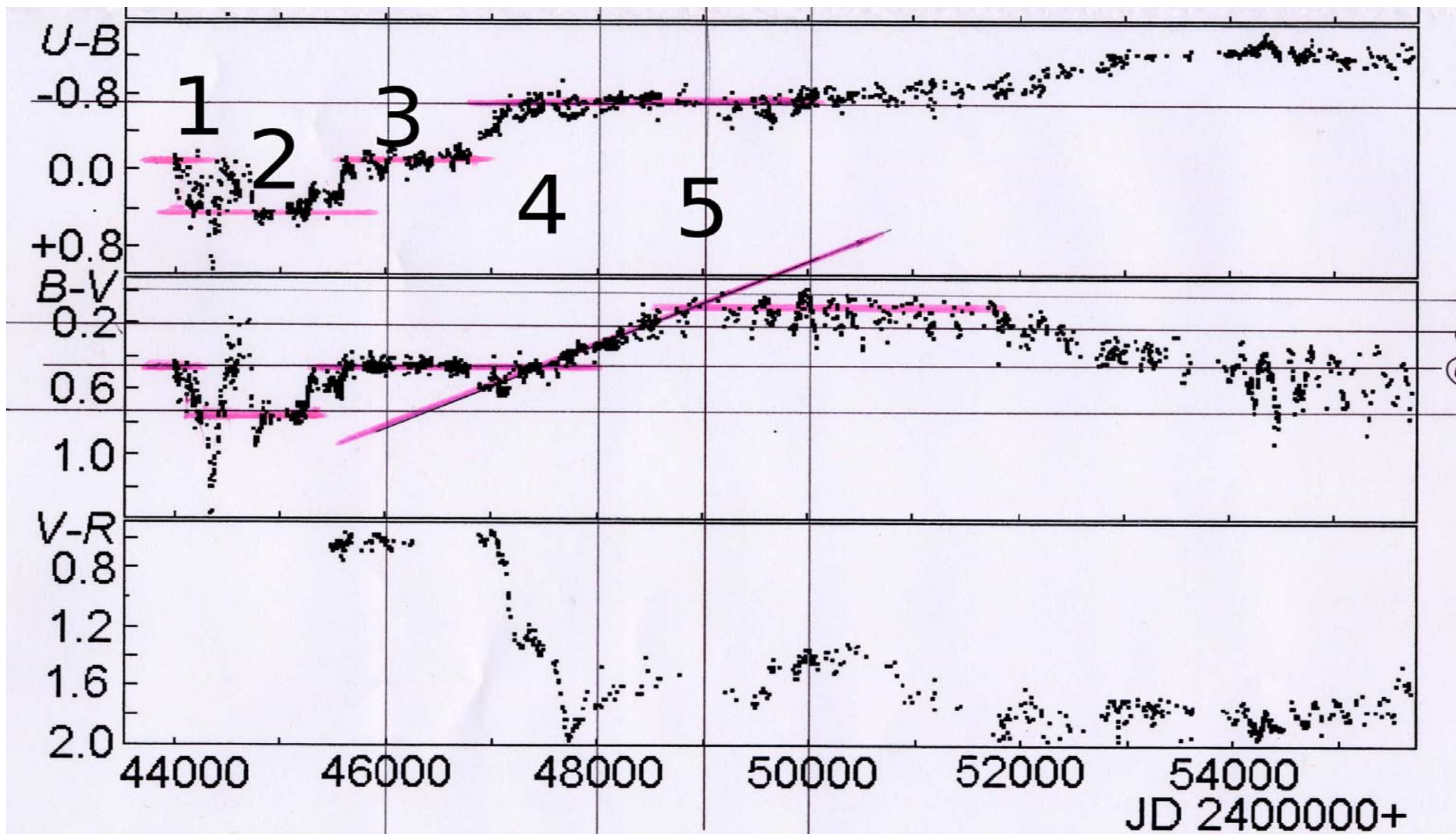
遅い新星の極限としての PU Vul



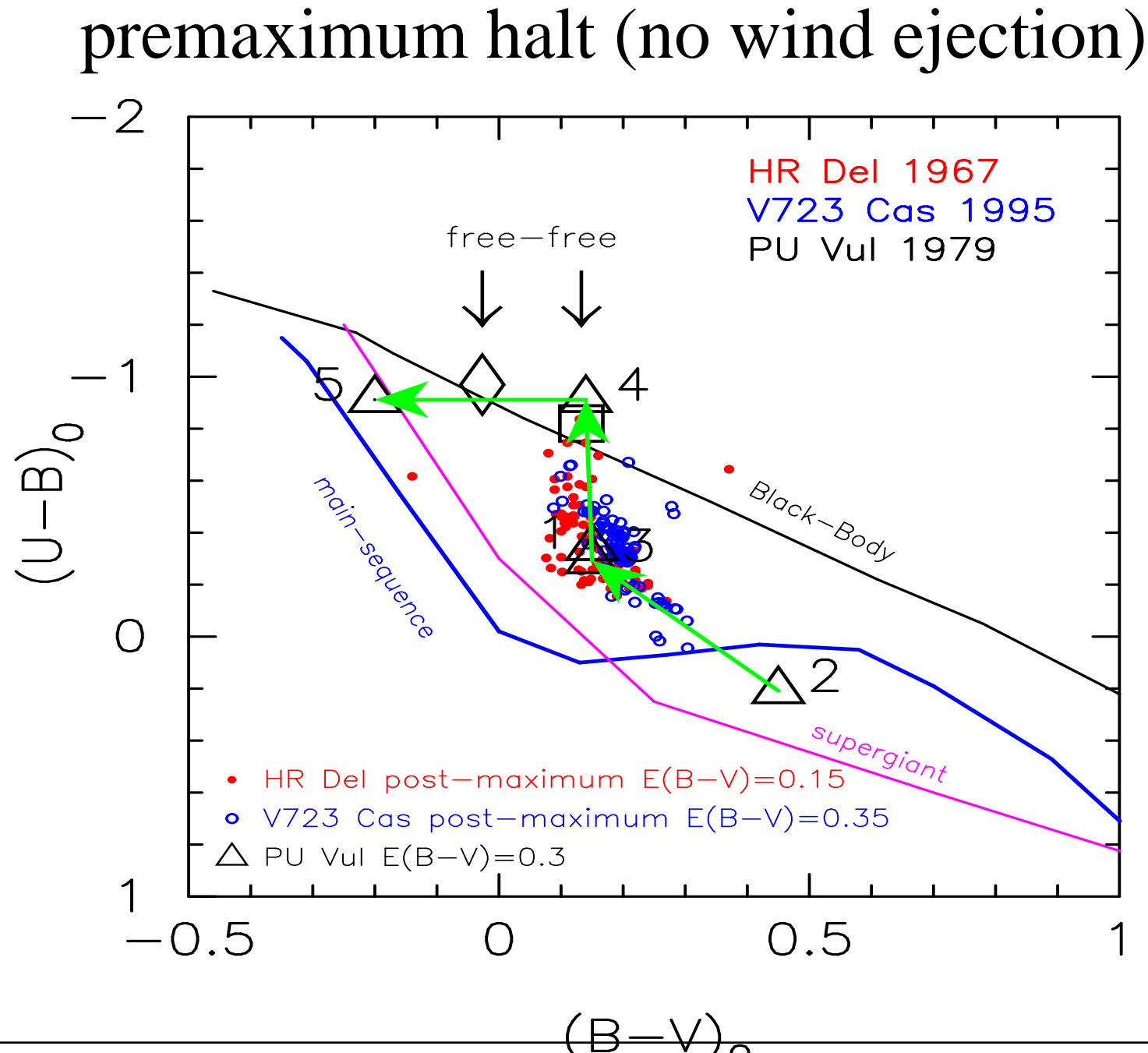
(U-B) and (B-V) of PU Vul

多数の観測点 (maximum at 2)

Shugarov+ 2011

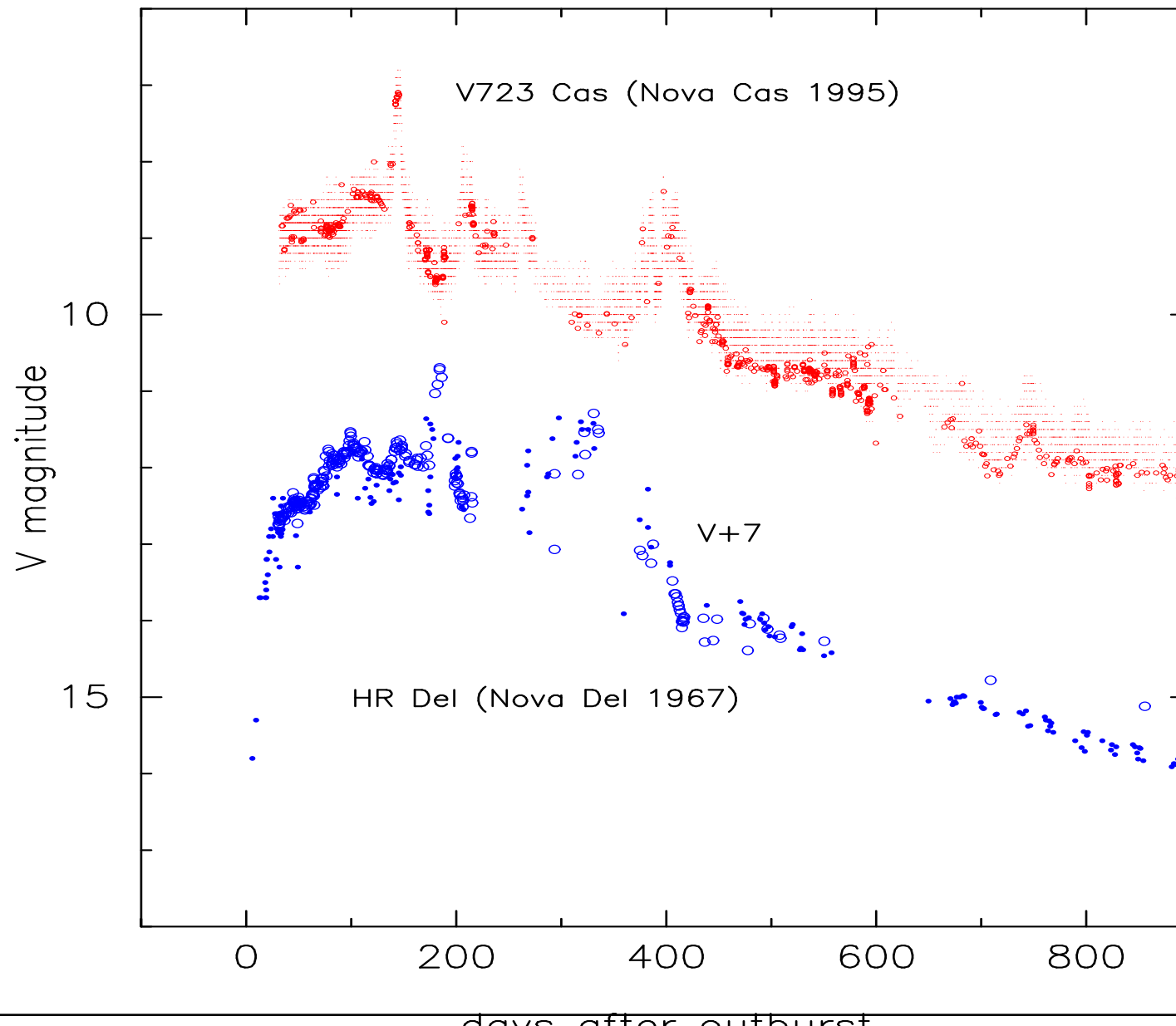


HR Del, V723 Cas, and PU Vul (1)



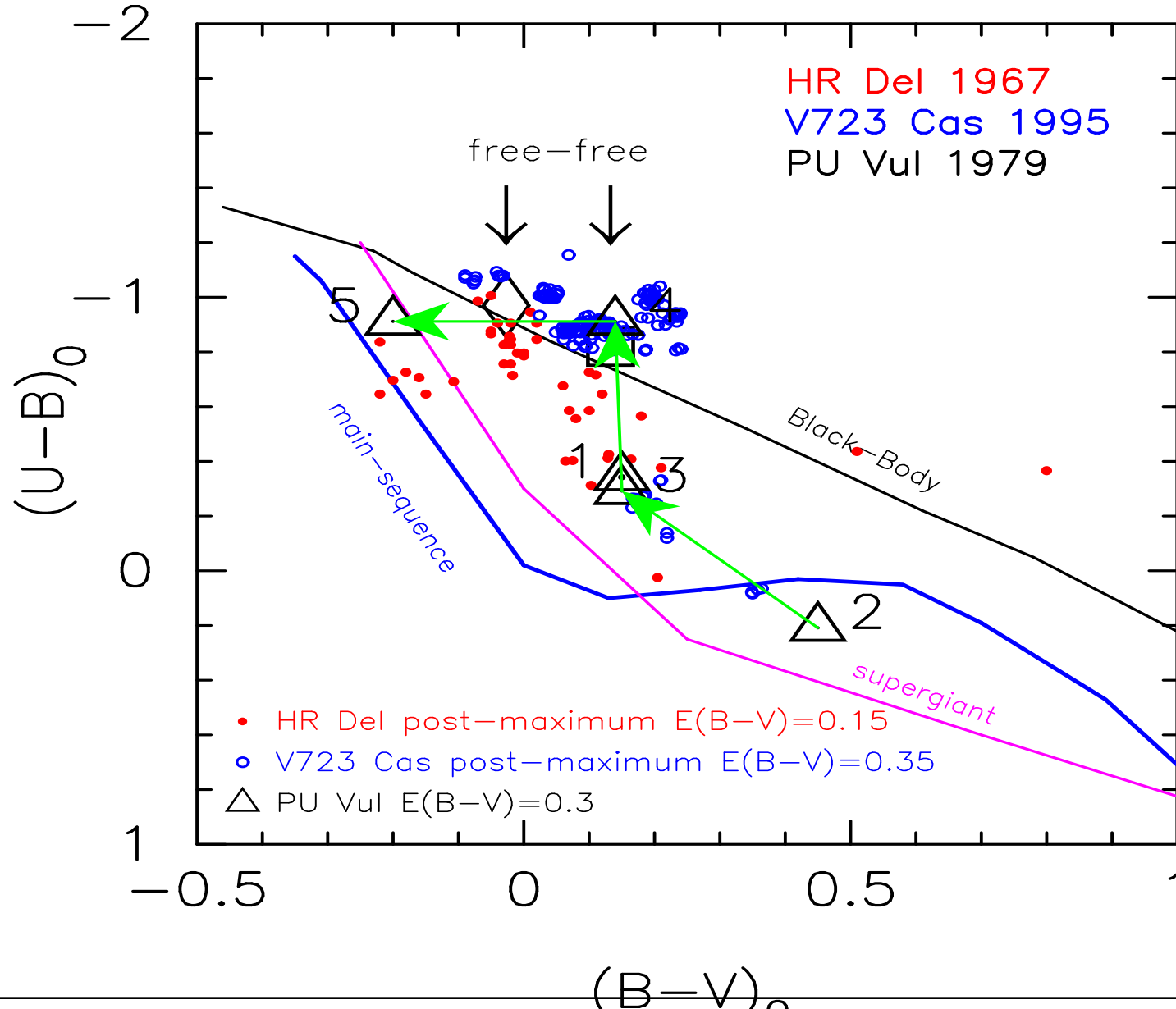
HR Del and V723 Cas

Light Curves of two novae



HR Del, V723 Cas, and PU Vul (2)

post-maximum phase (wind mass-loss)



Color of free-free emission

optically thin free-free emission

$$F_\nu \propto \text{constant}$$

$$(B - V) = +0.13, \quad (U - B) = -0.82$$

optically thick free-free emission

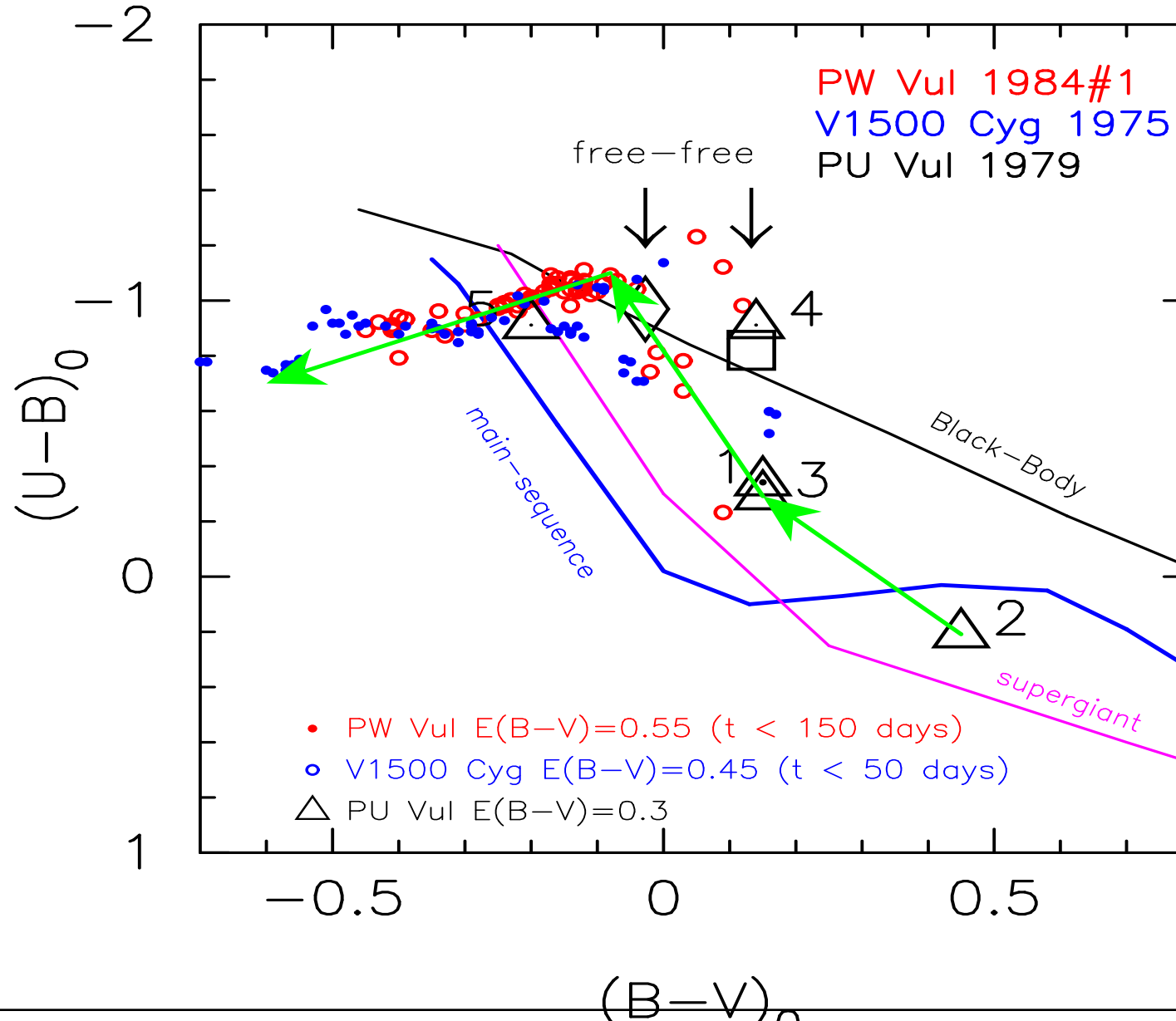
$$F_\nu \propto \nu^{2/3}$$

$$(B - V) = -0.03, \quad (U - B) = -0.97$$

peak の後は、wind mass-loss で free-free が効く

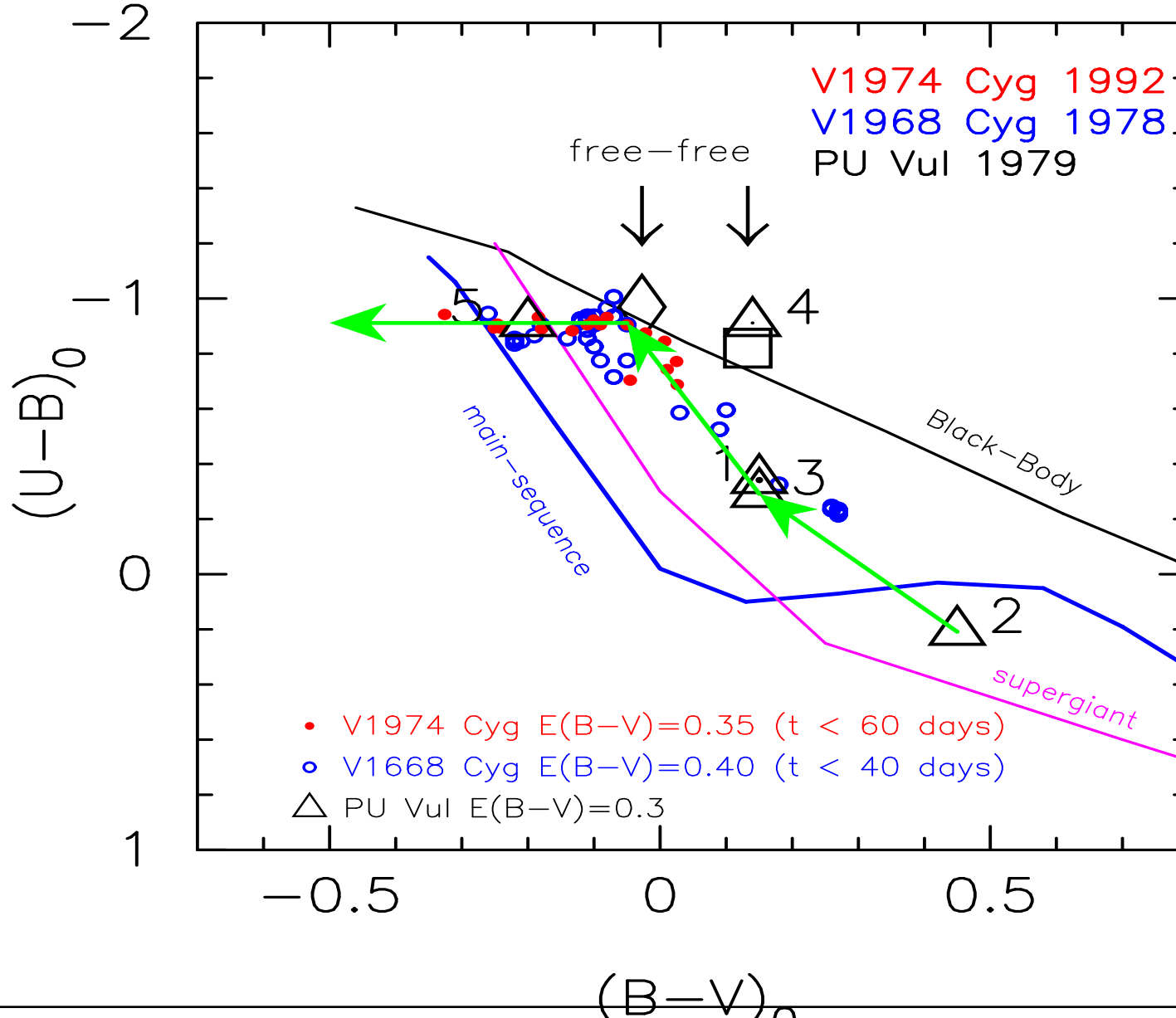
fast V1500 Cyg and slow PW Vul

どちらも free-free emission (wind mass-loss)



fast V1668 Cyg and fast V1974 Cyg

free-free emission (wind mass-loss)



古典新星の色指数変化のまとめ

遅い古典新星の極限としての PU Vul

phase 1,2,3 は no wind mass-loss

phase 4,5 にかけて optically thin wind

optically thin free-free emission の位置

HR Del, V723 Cas の premaximum phase

速い古典新星の場合(例 V1500 Cyg, V1668 Cyg)

極初期の膨張期は光球を見ている(phase 1,2,3は同じ)

free-free emission の効果は無い(少ない)

極大後、光球は縮み外層は光学的に薄くなる

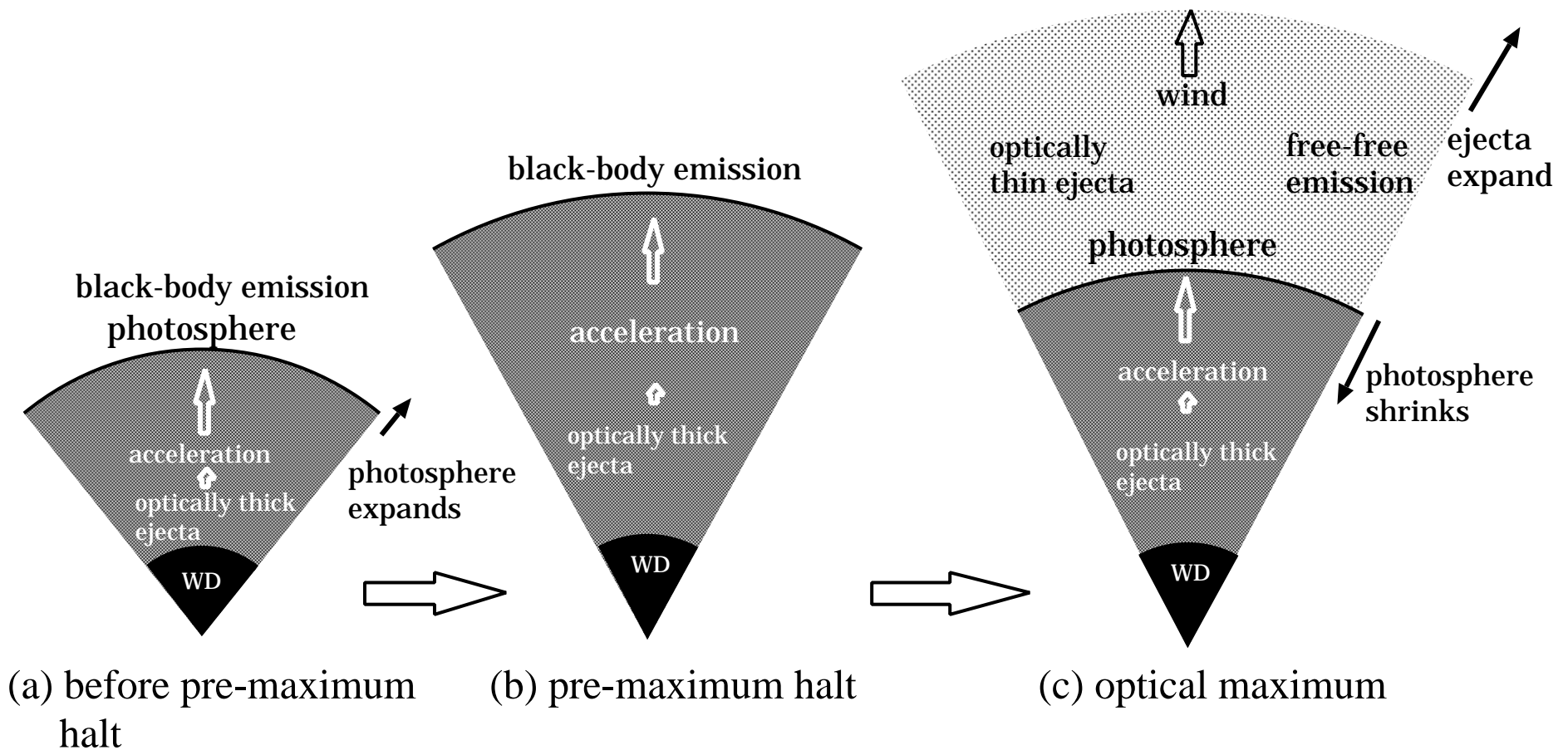
free-free emission from optically thin plasma

膨張する古典新星の光球の極大(1)

phase 1,2,3で光球を見ている

例 V1500 Cyg, V1668 Cyg, PW Vul など(phase 3 付近極大から始まる)

standard model of pre-maximum halts

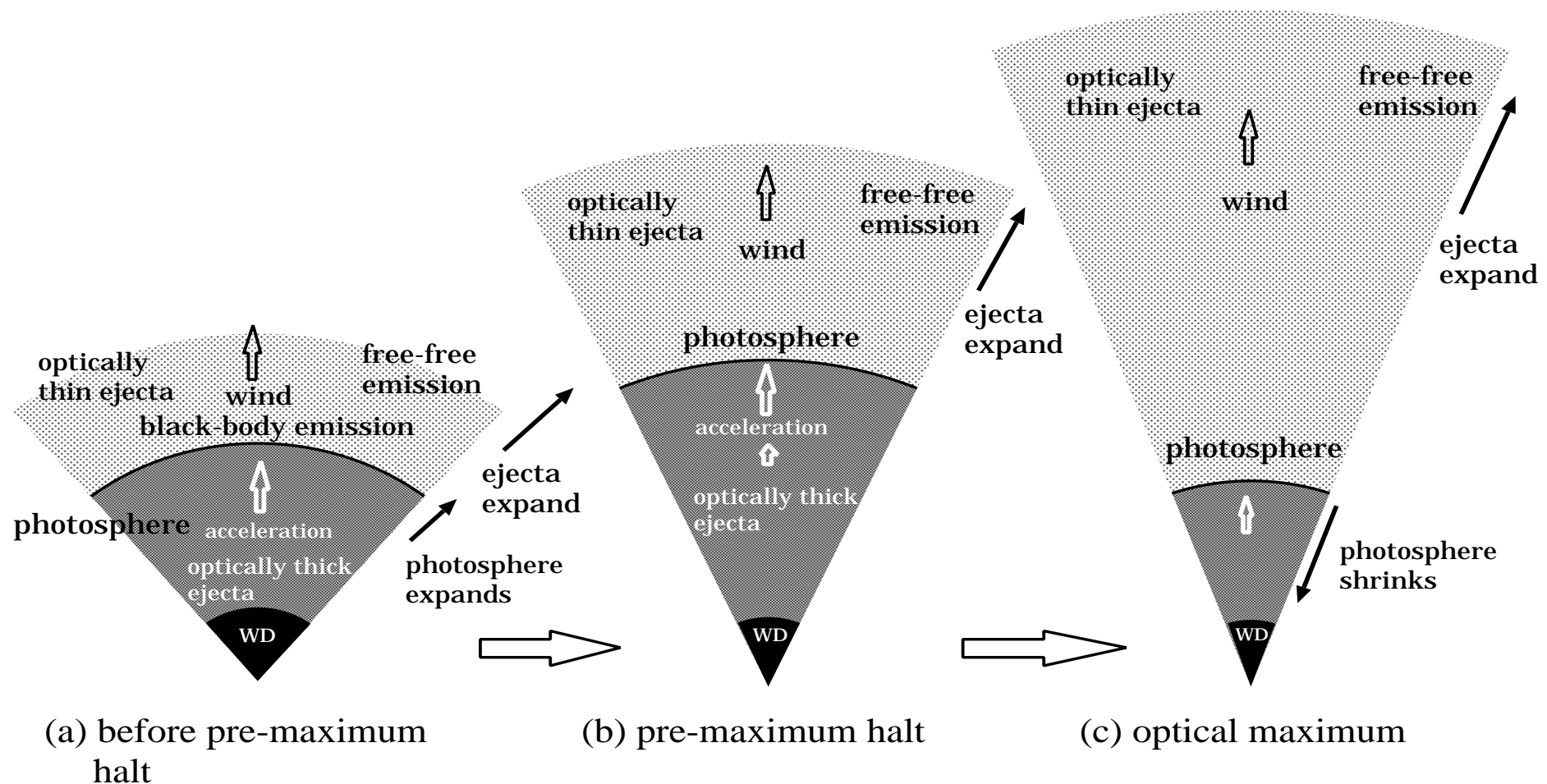


膨張する光球の極大(その 2)

光球極大前にすでに光学的に薄い領域がある

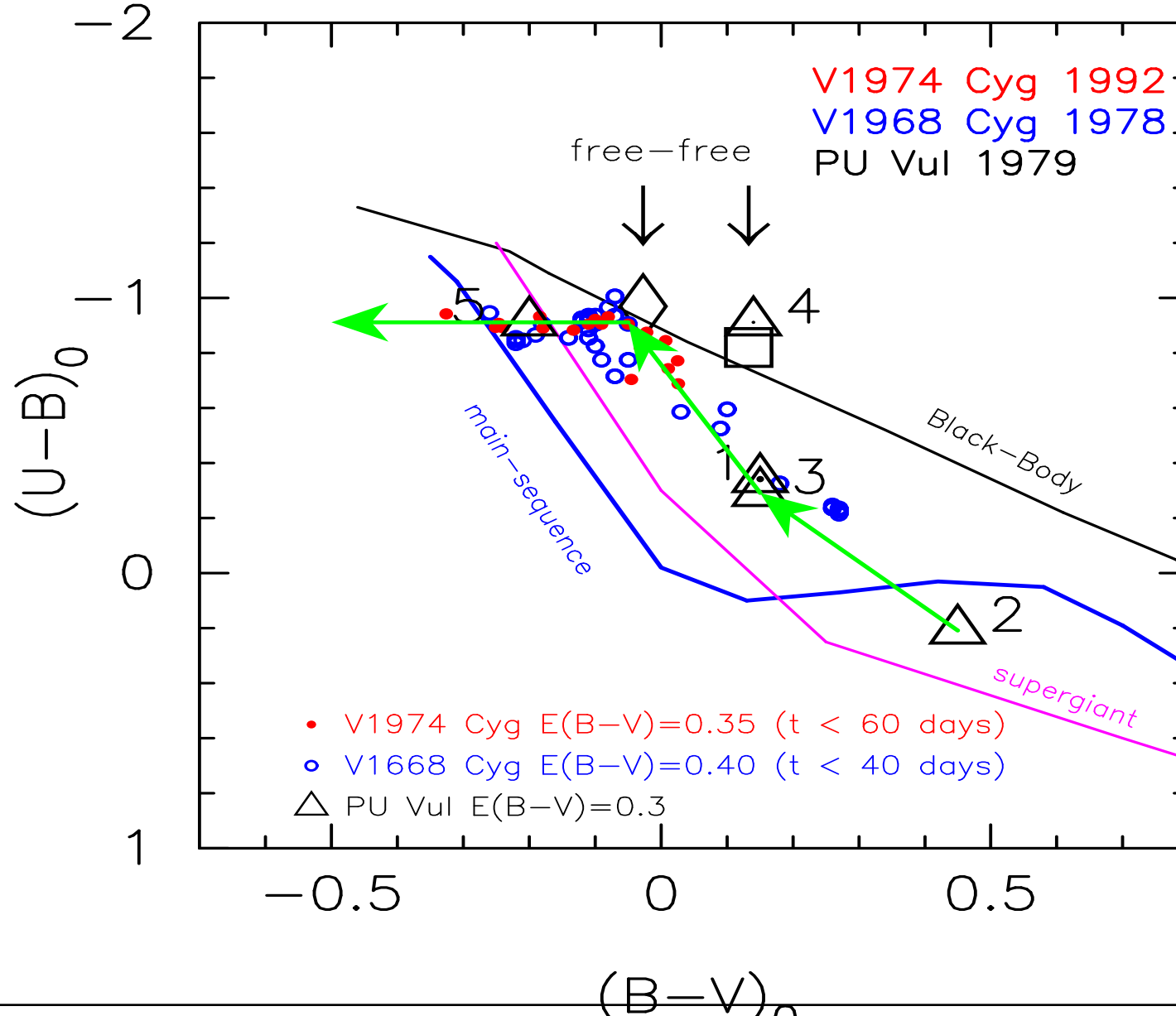
例 V1974 Cyg (phase 1,2,3 無しに 4 から始まる)

A model of bright pre-maximum halts



fast V1668 Cyg and fast V1974 Cyg

free-free emission (wind mass-loss)



光学的極大付近の 2 つの異なる様子

標準的な場合

envelope の密度が高い(ejecta の表面に光球)

膨張速度が比較的遅め

その結果、光球が ejecta の先端とあまりずれない
phase 2,3 付近より(より低温度)から始まる

比較的高温の極大を持つ場合

envelope の密度が低い(ejecta の中に光球)

膨張速度が速い

光球が ejecta の先端から大きく中にずれる
phase 4 付近(より高温度)から始まる

教訓

× 極大時の色指数からE(B-V)を決める

仮説 $(B-V)_0=0.20$ は危険

極大でどこまで赤くなるかは新星ごとに異なる

2色図中の位置からE(B-V)を決める

むしろ、こちらの方が正しいE(B-V)を与える

2色図による E(B-V) の推定(例)

recurrent novae T Pyx 1966 and RS Oph 1958

